Laboratorium EMVO Sp. J. Urbański, Pawelak
ul. Jasna 1
00-013 Warszawa

tel. +48 22 780 29 64
e-mail: laboratorium@emvo.pl

AB 1630

Sprawozdanie z pomiarów pól elektromagnetycznych - środowisko nr 26/04/OŚ/2024 - ELT



Nr i nazwa stacji	**BT43766_GDAŃSK_STOGI_2**	
Adres	**80-624 Gdańsk, ul. Szpaki 13, woj. pomorskie**	
Opracowanie	**Martyna Karczmarczyk**	**Specjalista ds. pomiarów**
Autoryzacja	**Andrzej Urbański**	**Kierownik Laboratorium**
Podpis	Podpis jest prawidłowy Dokument podpisany przez Andrzej Urbański; Laboratorium EMVO Data: 2024.05.07 13:30:36 CEST	
Data	**2024-05-06**	

„Bez pisemnej zgody Laboratorium niniejsze sprawozdanie nie może być powielane inaczej, jak tylko w całości. Ponadto wyniki dotyczą tylko badanych obiektów przywołanych w niniejszym sprawozdaniu z badań”

Spis treści

1. Informacje ogólne. 3
2. Podstawa prawna. 3
3. Opis pomiarów 3
4. Zróżnicowanie dopuszczalne poziomy pól elektromagnetycznych. 5
5. Charakterystyka źródeł PEM. 5
6. Wyniki pomiarów. 5
7. Stwierdzenie zgodności 6
8. Oświadczenie. 8
9. Spis załączników. 8

„Bez pisemnej zgody Laboratorium niniejsze sprawozdanie nie może być powielane inaczej, jak tylko w całości. Ponadto wyniki dotyczą tylko badanych obiektów przywołanych w niniejszym sprawozdaniu z badań”

1. Informacje ogólne.

Zleceniodawca – podmiot udzielający informacje	**Axians Networks Poland Sp. z o.o.** ul. Annopol 4a, 03-236 Warszawa
Istotne informacje dostarczone przez klienta	komplet informacji niezbędnych do wykonania pomiarów i opracowania sprawozdania
Dane otrzymane od klienta mogące mieć wpływ na ważność wyników	Dane anten sektorowych, dane anten radioliniowych, parametry pracy instalacji, poprawka pomiarowa, ustawienie pochylenia anten
Prowadzący instalację	**TOWERLINK POLAND SP. z.o.o.,** ul. Kasprzaka 4, 01-211 Warszawa
Lokalizacja obiektu	80-624 Gdańsk, ul. Szpaki 13, woj. pomorskie
Miejsce instalacji anten	Dach budynku
Miejsce instalacji urządzeń	Outdoor
Osoby wykonujące pomiar	Roman Murawski
Data wykonania pomiaru	06.05.2024
Temperatura na początku pomiaru [°C]	16,0
Temperatura na koniec pomiaru [°C]	17,0
Warunki atmosferyczne	Brak opadów
Wilgotność na początku pomiaru [%]	68,0
Wilgotność na koniec pomiaru [%]	69,0
Godzina na początku pomiaru	13:21
Godzina na koniec pomiaru	15:21
Inne źródła pól elektromagnetycznych oznaczone na załączniku graficznym	Występują
Parametry pracy instalacji	Tryb eksploatacyjny

2. Podstawa prawna.

2.1 Normy i rozporządzenia:

- Ustawa z dnia 27 kwietnia 2001 r. Prawo Ochrony Środowiska (Dz. U. z 2022 r., poz 2556 z późn. zm.)
- Rozporządzenia Ministra Zdrowia z dnia 17 grudnia 2019 r. w sprawie dopuszczalnych poziomów pól elektromagnetycznych w środowisku (Dz. U. z 2019 r., poz. 2448),
- Rozporządzenie Ministra Klimatu z dnia 17.02.2020 r. w sprawie sposobów sprawdzania dotrzymania dopuszczalnych poziomów pól elektromagnetycznych w środowisku (Dz. U. z 2022 r., poz. 2630).

3. Opis pomiarów

Metodologia pomiarowa	Pomiary w oparciu o Rozporządzenie Ministra Klimatu z dnia 17 lutego 2020 r. w sprawie sposobów sprawdzania dotrzymania dopuszczalnych poziomów pól elektromagnetycznych w środowisku (Dz.U. 2022 poz. 2630).
Cel badań	Określenie wartości natężenia pola elektrycznego w miejscach dostępnych dla ludności.
Opis zestawu pomiarowego	Miernik Narda NBM 550 nr F-0303 - 01/WL, Sonda EF6092 nr A-0061 - 02WL, o zakresie pomiarowym 0,7 V/m –300V/m pracująca w paśmie 0,1 – 90 GHz, świadectwo wydane przez Laboratorium Wzorców i Metrologii Pola Elektromagnetycznego, Instytut Telekomunikacji, Teleinformatyki i Akustyki Politechniki Wrocławskiej. Świadectwo wzorcowania LWiMP/W/161/22 ważne do 10.06.2024 r. Miernik Narda NBM 550, Sonda EF-6092 pracująca w zakresie temperatury -10°C - +50°C oraz wilgotności 5% - 95% Niepewność rozszerzona wynosi 56,6% przy poziomie ufności 95% z uwzględnieniem współczynnika rozszerzenia k=2.
Wyposażenie pomocnicze	Termohigrometr BESTONE nr BE807 EF1222013 - WL/07. Sprawdzany okresowo. Dalmierz laserowy BOSCH Professional GLM 40 nr 328411710 - WL/60. Sprawdzany okresowo. GPS Garmin 65 nr 6QA008957 - WL/54. Sprawdzany okresowo w punktach osnowy geodezyjnej, zgodnie z procedurą laboratorium PZ-6.5 sprawdzanie wewnętrzne WL.
Pomiary zostały wykonane	1. na głównych i pomocniczych kierunkach pomiarowych, na kierunkach zbliżonych do azymutów anten oraz w dodatkowych pionach pomiarowych zgodnie z wymaganiami pkt 12, 13, 14 i 19 Rozporządzenia Ministra Klimatu z dnia 17 lutego 2020 r. (Dz.U. 2022 poz. 2630). Wybór i lokalizacja pionów pomiarowych, w tym znajdujących się wewnątrz lokali, zostały ustalone zgodnie z procedurą laboratorium nr PP-7.3/7.4/7.5-11, z uwzględnieniem: rodzaju badanej instalacji (w tym parametrów technicznych instalacji), lokalizacji badanej instalacji, ukształtowania terenu wokół badanej instalacji. 2. na obszarze pomiarowym, dla którego, na podstawie uprzednio przeprowadzonych obliczeń stwierdzono w miejscach dostępnych dla ludności występowanie pól elektromagnetycznych o najwyższym poziomie, które pochodzą z badanej instalacji zgodnie z wymaganiami pkt 5 ppkt 2 oraz pkt 13 ppkt 1 Rozporządzenia Ministra Klimatu z dnia 17 lutego 2020 r. w sprawie sposobów sprawdzania dotrzymania dopuszczalnych poziomów pól elektromagnetycznych w środowisku (Dz.U. 2022 poz. 2630). Wyniki obliczeń nie uwzględniały parametrów pracy instalacji innych operatorów występujących na obiekcie bądź w obszarze pomiarowym. 3. w miejscach dostępnych dla ludności. 4. miejsca niedostępne podczas wykonywania pomiarów wskazane zostały w pkt 6 (tabeli wyniki pomiarów) 5. w dodatkowych pionach pomiarowych w lokalach oraz na balkonach i tarasach, na których mogą przebywać ludzie, po poinformowaniu o planowanych pomiarach z minimum 3-dniowym wyprzedzeniem i po umożliwieniu dostępu do lokalu, balkonu lub tarasu przez jego dysponenta lub bez zachowania terminu wskazanego w pierwszej części zdania za zgodą dysponenta przestrzeni pomiarowej.
Sposób powiadamiania dysponentów	Zgodnie z pkt 14 Rozporządzenia Ministra Klimatu z dnia 17 lutego 2020 r. w sprawie sposobów sprawdzania dotrzymania dopuszczalnych poziomów pól elektromagnetycznych w środowisku (Dz.U. 2022 poz. 2630). poinformowano

	dysponentów lokali o planowanych pomiarach. Informacji dokonano między innymi poprzez: 1. bloki mieszkalne – zawiadomienie spółdzielni mieszkaniowej, zarządcy nieruchomości, zarządu wspólnoty, umieszczenie informacji o planowanych pomiarach na tablicach ogłoszeń w klatkach schodowych bloków lub na drzwiach wejściowych, 2. biurowce, budynki użyteczności publicznej itp. - przekazanie zawiadomienia do administracji lub recepcji obiektu, 3. domy jednorodzinne, szeregowce itp.- pozostawienie informacji w skrzynkach pocztowych itp. lub przekazanie osobiste.
Warunki pracy urządzeń nadawczych	Tryb pracy eksploatacyjny.

4. Zróżnicowanie dopuszczalne poziomy pól elektromagnetycznych.

Zakresy znajdują się w Dzienniku Ustaw z dnia 17 grudnia 2019 r. przestawione są w tabeli nr 2 (Dz. U. z 2019r. poz. 2448).

Parametr fizyczny / Zakres Częstotliwości pola elektromagnetycznego	Składowa elektryczna E (V/m)	Składowa magnetyczna H (A/m)	Gęstość mocy S (W/m2)
od 400 MHz do 2000 MHz	$1{,}375 \times f^{0,5}$	$0{,}0037 \times f^{0,5}$	f / 200
od 2 GHz do 300 GHz	61	0,16	10

5. Charakterystyka źródeł PEM.

Zgodnie z informacja otrzymaną od Klienta pomiary zostały wykonane przy ustawieniach pochylenia anten zgodnych z pkt. 13, ppkt 2 Rozporządzenia Ministra Klimatu z dnia 17 lutego 2020 roku.

Tabela 1. Anteny sektorowe - dane otrzymane od klienta

Typ anteny	Współrzędne geograficzne	Azymut mechaniczny [°]	Azymut elektryczny [°]	Wysokość zawieszenia anten (środek anteny) n.p.t. [m]	Pasmo częstotliwości [MHz]	Zakres pochylenia elektrycznego [°]	Średnie pochylenie anten (ustawione do pomiarów PEM) [°]	Zakres pochylenia mechanicznego [°]	Moc EIRP [W]	Suma EIRP [W]
ADU4518R3V06	54°21'47.88"N 18°42'49.00"E	50	50	37,80	2100	0,0 - 8,0	4,0	0,0	3907	8147
					900	0,0 - 12,0	4,0		4240	
ADU4518R3V06	54°21'47.88"N 18°42'49.00"E	195	195	37,80	2100	0,0 - 8,0	4,0	0,0	3907	8147
					900	0,0 - 12,0	4,0		4240	
ADU4518R3V06	54°21'47.88"N 18°42'49.00"E	295	295	37,80	2100	0,0 - 8,0	4,0	0,0	3907	8147
					900	0,0 - 12,0	4,0		4240	
ADU4521R04V06	54°21'47.88"N 18°42'49.00"E	50	50	37,80	1800	1,0 - 7,0	4,0	0,0	10099	10099
ADU4521R04V06	54°21'47.88"N 18°42'49.00"E	195	195	37,80	1800	1,0 - 7,0	4,0	0,0	10099	10099
ADU4521R04V06	54°21'47.88"N 18°42'49.00"E	295	295	37,80	1800	1,0 - 7,0	4,0	0,0	10099	10099
ADU4521R04V06	54°21'47.88"N 18°42'49.00"E	65	65	37,80	2600	1,0 - 7,0	4,0	0,0	16816	16816
ADU4521R04V06	54°21'47.88"N 18°42'49.00"E	195	195	37,80	2600	1,0 - 7,0	4,0	0,0	16816	16816
ADU4521R04V06	54°21'47.88"N 18°42'49.00"E	295	295	37,80	2600	1,0 - 7,0	4,0	0,0	16816	16816

„Bez pisemnej zgody Laboratorium niniejsze sprawozdanie nie może być powielane inaczej, jak tylko w całości. Ponadto wyniki dotyczą tylko badanych obiektów przywołanych w niniejszym sprawozdaniu z badań”

Tabela 2. Anteny radioliniowe- dane otrzymane od klienta

Typ anteny	Współrzędne geograficzne	Azymut [°]	Średnica [m]	Pasmo częstotliwości [GHz]	Zysk energetyczny [dBi]	Moc wyjściowa nadajnika [dBm]	EIRP [W]	Wysokość środka elektrycznego anten n.p.t. [m]
VHLP2-80	54°21'47.88"N 18°42'49.00"E	108	0,6	80	50,5	16	4466,84	39,3
UKY 230 41/11H	54°21'47.88"N 18°42'49.00"E	131	0,3	38	40,3	18	676,08	39,9
ANT3 B 0.3 80 HP	54°21'47.88"N 18°42'49.00"E	312	0,3	80	44,6	13	575,44	39,9
ANT3 B 0.3 80 HP	54°21'47.88"N 18°42'49.00"E	335	0,3	80	44,6	12	457,09	39,3
VHLP1-80	54°21'47.88"N 18°42'49.00"E	335	0,3	80	43,5	14	562,34	39,3

6. Wyniki pomiarów.

Wyniki pomiarów pól elektromagnetycznych dla celów ochrony środowiska przedstawia poniższa tabela. Piony pomiarowe zostały przedstawione w zał. 2.

Nr PP	Pole-E [V/m]	Pole-E, +U [V/m]	Pole-H [A/m]	Pole-H +U [A/m]	Wys. pomiaru [m]	Opis pionu	Uwagi	WM_E	WM_H
1	0,7*	1,25	0,002	0,003	0,3-2,0	N:54°21'49.9" E:18°42'53.9"	otoczenie stacji bazowej - wzdłuż gł. osi promieniowania - GKP	0,045	0,046
2	0,7*	1,25	0,002	0,003	0,3-2,0	N:54°21'51.6" E:18°42'57.3"	otoczenie stacji bazowej - wzdłuż gł. osi promieniowania - GKP	0,045	0,046
3	0,7*	1,25	0,002	0,003	0,3-2,0	N:54°21'53.1" E:18°43'00.2"	otoczenie stacji bazowej - wzdłuż gł. osi promieniowania - GKP	0,045	0,046
4	0,7*	1,25	0,002	0,003	0,3-2,0	N:54°21'54.8" E:18°43'03.9"	otoczenie stacji bazowej - wzdłuż gł. osi promieniowania - GKP	0,045	0,046
5	0,7*	1,25	0,002	0,003	0,3-2,0	N:54°21'57.0" E:18°43'08.2"	otoczenie stacji bazowej - wzdłuż gł. osi promieniowania - GKP	0,045	0,046
6	1,6	2,51	0,004	0,007	0,3-2,0	N:54°21'48.7" E:18°42'52.0"	otoczenie stacji bazowej - wzdłuż gł. osi promieniowania - GKP	0,089	0,091
7	1,1	1,72	0,003	0,005	0,3-2,0	N:54°21'49.1" E:18°42'55.3"	otoczenie stacji bazowej - wzdłuż gł. osi promieniowania - GKP	0,062	0,063
8	0,7*	1,25	0,002	0,003	0,3-2,0	N:54°21'50.5" E:18°42'59.1"	otoczenie stacji bazowej - wzdłuż gł. osi promieniowania - GKP	0,045	0,046
9	0,7*	1,25	0,002	0,003	0,3-2,0	N:54°21'51.7" E:18°43'02.9"	otoczenie stacji bazowej - wzdłuż gł. osi promieniowania - GKP	0,045	0,046
10	0,7*	1,25	0,002	0,003	0,3-2,0	N:54°21'52.4" E:18°43'05.4"	otoczenie stacji bazowej - wzdłuż gł. osi promieniowania - GKP	0,045	0,046
11	0,7*	1,25	0,002	0,003	0,3-2,0	N:54°21'53.2" E:18°43'07.7"	otoczenie stacji bazowej - wzdłuż gł. osi promieniowania - GKP	0,045	0,046
12	0,9	1,41	0,002	0,004	0,3-2,0	N:54°21'54.3" E:18°43'10.5"	otoczenie stacji bazowej - wzdłuż gł. osi promieniowania - GKP	0,050	0,051
13	2,4	3,76	0,006	0,010	0,3-2,0	N:54°21'46.2" E:18°42'49.0"	otoczenie stacji bazowej - wzdłuż gł. osi promieniowania - GKP	0,134	0,137
14	0,9	1,41	0,002	0,004	0,3-2,0	N:54°21'44.2" E:18°42'48.1"	otoczenie stacji bazowej - wzdłuż gł. osi promieniowania - GKP	0,050	0,051
15	0,7*	1,25	0,002	0,003	0,3-2,0	N:54°21'40.6" E:18°42'46.9"	otoczenie stacji bazowej - wzdłuż gł. osi promieniowania - GKP	0,045	0,046
16	1,0	1,57	0,003	0,004	0,3-2,0	N:54°21'37.9" E:18°42'45.3"	otoczenie stacji bazowej - wzdłuż gł. osi promieniowania - GKP	0,056	0,057
17	1,1	1,72	0,003	0,005	0,3-2,0	N:54°21'36.4" E:18°42'44.9"	otoczenie stacji bazowej - wzdłuż gł. osi promieniowania - GKP	0,062	0,063
18	0,8	1,25	0,002	0,003	0,3-2,0	N:54°21'35.0" E:18°42'44.2"	otoczenie stacji bazowej - wzdłuż gł. osi promieniowania - GKP	0,045	0,046
19	0,9	1,41	0,002	0,004	0,3-2,0	N:54°21'47.7" E:18°42'47.6"	otoczenie stacji bazowej - wzdłuż gł. osi promieniowania - GKP	0,050	0,051
20	0,7*	1,25	0,002	0,003	0,3-2,0	N:54°21'48.4" E:18°42'44.9"	otoczenie stacji bazowej - wzdłuż gł. osi promieniowania - GKP	0,045	0,046

„Bez pisemnej zgody Laboratorium niniejsze sprawozdanie nie może być powielane inaczej, jak tylko w całości. Ponadto wyniki dotyczą tylko badanych obiektów przywołanych w niniejszym sprawozdaniu z badań”

Nr PP	Pole-E [V/m]	Pole-E, +U [V/m]	Pole-H [A/m]	Pole-H +U [A/m]	Wys. pomiaru [m]	Opis pionu	Uwagi	WM_E	WM_H
21	0,7*	1,25	0,002	0,003	0,3-2,0	N:54°21'48.8" E:18°42'43.5"	otoczenie stacji bazowej - wzdłuż gł. osi promieniowania - GKP	0,045	0,046
22	0,9	1,41	0,002	0,004	0,3-2,0	N:54°21'49.9" E:18°42'39.0"	otoczenie stacji bazowej - wzdłuż gł. osi promieniowania - GKP	0,050	0,051
23	1,0	1,57	0,003	0,004	0,3-2,0	N:54°21'51.1" E:18°42'34.5"	otoczenie stacji bazowej - wzdłuż gł. osi promieniowania - GKP	0,056	0,057
24	1,2	1,88	0,003	0,005	0,3-2,0	N:54°21'52.2" E:18°42'30.8"	otoczenie stacji bazowej - wzdłuż gł. osi promieniowania - GKP	0,067	0,068
A	9,3	14,56	0,025	0,039	0,3-2,0	N:54°21'45.9" E:18°42'49.8"	Szpaki 9, pomiar w otworze okiennym, piętro 10, korytarz -DPP	0,520	0,529
	9,0	14,09	0,024	0,037	0,3-2,0		Szpaki 9, pomiar w otworze okiennym, piętro 10, mieszkania 81 -DPP	0,503	0,512
	4,6	7,20	0,012	0,019	0,3-2,0		Szpaki 9, pomiar w otworze okiennym, piętro 9, mieszkania 74 -DPP	0,257	0,262
	6,5	10,18	0,017	0,027	0,3-2,0		Szpaki 9, pomiar w otworze okiennym, piętro 9, korytarz -DPP	0,364	0,370
	4,8	7,52	0,013	0,020	0,3-2,0		Szpaki 9, pomiar w otworze okiennym, piętro 8, korytarz -DPP	0,268	0,273
B	2,2	3,45	0,006	0,009	0,3-2,0	N:54°21'47.5" E:18°42'51.3"	Rozłogi 11, pomiar w otworze okiennym, piętro 10, korytarz -DPP	0,123	0,125
	3,2	5,01	0,008	0,013	0,3-2,0		Rozłogi 11, pomiar w otworze okiennym, piętro 10, mieszkania 86 -DPP	0,179	0,182
	1,6	2,51	0,004	0,007	0,3-2,0		Rozłogi 11, pomiar w otworze okiennym, piętro 9, korytarz -DPP	0,089	0,091
	2,4	3,76	0,006	0,010	0,3-2,0		Rozłogi 11, pomiar w otworze okiennym, piętro 9, mieszkania 78 -DPP	0,134	0,137
C	1,7	2,66	0,005	0,007	0,3-2,0	N:54°21'47.8" E:18°42'48.2"	Szpaki 13, pomiar w otworze okiennym, piętro 10, korytarz -DPP	0,095	0,097
	1,5	2,35	0,004	0,006	0,3-2,0		Szpaki 13, pomiar w otworze okiennym, piętro 9, korytarz -DPP	0,084	0,085
D	0,8	1,25	0,002	0,003	0,3-2,0	N:54°21'48.9" E:18°42'50.6"	Rozłogi 8A, pomiar przed posesją -DPP	0,045	0,046
D1	1,3	2,04	0,003	0,005	0,3-2,0	N:54°21'48.8" E:18°42'53.4"	Rozłogi 13, pomiar przy otworze okiennym, przed budynkiem -DPP	0,073	0,074
E	1,5	2,35	0,004	0,006	0,3-2,0	N:54°21'52.0" E:18°42'30.4"	Zalesie 10, pomiar w otworze okiennym, piętro 5, korytarz -DPP	0,084	0,085
	1,9	2,98	0,005	0,008	0,3-2,0		Zalesie 10, pomiar w otworze okiennym, piętro 4, korytarz -DPP	0,106	0,108
	1,6	2,51	0,004	0,007	0,3-2,0		Zalesie 10, pomiar w otworze okiennym, piętro 3, korytarz -DPP	0,089	0,091
F	0,9	1,41	0,002	0,004	0,3-2,0	N:54°21'34.7" E:18°42'45.4"	Hoża 4, pomiar przed bramą -DPP	0,050	0,051
G	0,8	1,25	0,002	0,003	0,3-2,0	N:54°21'37.1" E:18°42'44.8"	Hoża 8, pomiar przy otworze okiennym, przed budynkiem -DPP	0,045	0,046
H	0,9	1,41	0,002	0,004	0,3-2,0	N:54°21'51.0" E:18°42'35.9"	Zalesie 3, pomiar przy otworze okiennym, przed budynkiem -DPP	0,050	0,051

Wynik pomiaru pole - E [V/m] - maksymalna wartość chwilowa zmierzona w danym pionie pomiarowym (uśredniona na podstawie punktu 11 załącznika do Rozporządzenia Ministra Klimatu z dnia 17 lutego 2020 r. w sprawie sposobów sprawdzania dotrzymania dopuszczalnych poziomów pól elektromagnetycznych w środowisku (Dz.U. 2022 poz. 2630)). Zgodnie z pkt. 7 załącznika do Rozporządzenia Ministra Klimatu z dnia 17 lutego 2020 r. w sprawie sposobów sprawdzania dotrzymania dopuszczalnych poziomów pól elektromagnetycznych w środowisku (Dz.U. 2022 poz. 2630) nie stosuje się poprawek pomiarowych.

Przyjęto najniższą dopuszczalną wartość składowej elektrycznej pola dla objętego pomiarami zakresu częstotliwości $\min(ME_{gr})$= 28 V/m oraz składowej magnetycznej $\min(MH_{gr})$= 0,073 A/m.

* - wartość zmierzona poniżej zakresu akredytacji. Do obliczeń przyjęto wartość zgodną z dolną granicą akredytowanego zakresu pomiarowego metody.

GKP - główne kierunki pomiarowe

PKP - pomocnicze kierunki pomiarowe

DPP - dodatkowe punkty pomiarowe

PP - pion pomiarowy

„Bez pisemnej zgody Laboratorium niniejsze sprawozdanie nie może być powielane inaczej, jak tylko w całości. Ponadto wyniki dotyczą tylko badanych obiektów przywołanych w niniejszym sprawozdaniu z badań”

U - niepewność pomiarowa rozszerzona, przy poziomie ufności 95%, z uwzględnieniem współczynnika rozszerzenia k=2

WM_E - wartość wskaźnikowa poziomu emisji pól elektromagnetycznych dla miejsc dostępnych dla ludności dla składowej elektrycznej pola

WM_H - wartość wskaźnikowa poziomu emisji pól elektromagnetycznych dla miejsc dostępnych dla ludności dla składowej magnetycznej pola

7. Stwierdzenie zgodności

Na podstawie wytycznych podanych w Rozporządzeniu Ministra Zdrowia z dnia 17 grudnia 2019 r. w sprawie dopuszczalnych poziomów pól elektromagnetycznych w środowisku (Dz.U. 2019 poz. 2448) oraz sposobów sprawdzania dotrzymania tych poziomów zgodnie z Rozporządzeniem Ministra Klimatu z dnia 17 lutego 2020 r. w sprawie sposobów sprawdzania dotrzymania dopuszczalnych poziomów pól elektromagnetycznych w środowisku (Dz.U. 2022 poz. 2630), dotyczących źródła wymagań, które muszą być spełnione, w oparciu o zasadę podejmowania decyzji zgodną z pkt. 26 Rozporządzenia Ministra Klimatu z dnia 17 lutego 2020 r. (Dz.U. 2022 poz. 2630), na podstawie wyników pomiarów pól elektromagnetycznych wykonanych w dniu 06.05.2024 stwierdzono, że wszystkie wyniki przeprowadzonych pomiarów w danym obszarze pomiarowym oraz wyznaczone na tej postawie wskaźniki WME oraz WMH są mniejsze od wartości dopuszczalnych – zgodnie z przepisami wydanymi na podstawie art. 122 ust. 1 ustawy z dnia 27 kwietnia 2001 r. – Prawo ochrony środowiska – załącznikiem do Rozporządzenia Ministra Klimatu i Środowiska z dnia 17 lutego 2020 r. w sprawie sposobów sprawdzania dotrzymywania dopuszczalnych poziomów pól elektromagnetycznych w środowisku (Dz.U. 2022 poz. 2630, pkt 26).

8. Oświadczenie.

Wyniki badania odnoszą się wyłącznie do badanego obiektu.
Bez pisemnej zgody sprawozdanie nie może być powielane inaczej, jak tylko w całości.
Uwagi i zastrzeżenia przyjmowane są w formie pisemnej.

9. Spis załączników.

Zał. 1. Lokalizacja obiektu.
Zał. 2. Widok pionów pomiarowych
Zał. 3. Załączniki graficzne

Koniec sprawozdania

Zał. 1. Lokalizacja obiektu



Współrzędne geograficzne	
długość:	18°42'49.00"E
szerokość:	54°21'47.88"N

„Bez pisemnej zgody Laboratorium niniejsze sprawozdanie nie może być powielane inaczej, jak tylko w całości. Ponadto wyniki dotyczą tylko badanych obiektów przywołanych w niniejszym sprawozdaniu z badań”

Zał. 2. Widok pionów pomiarowych

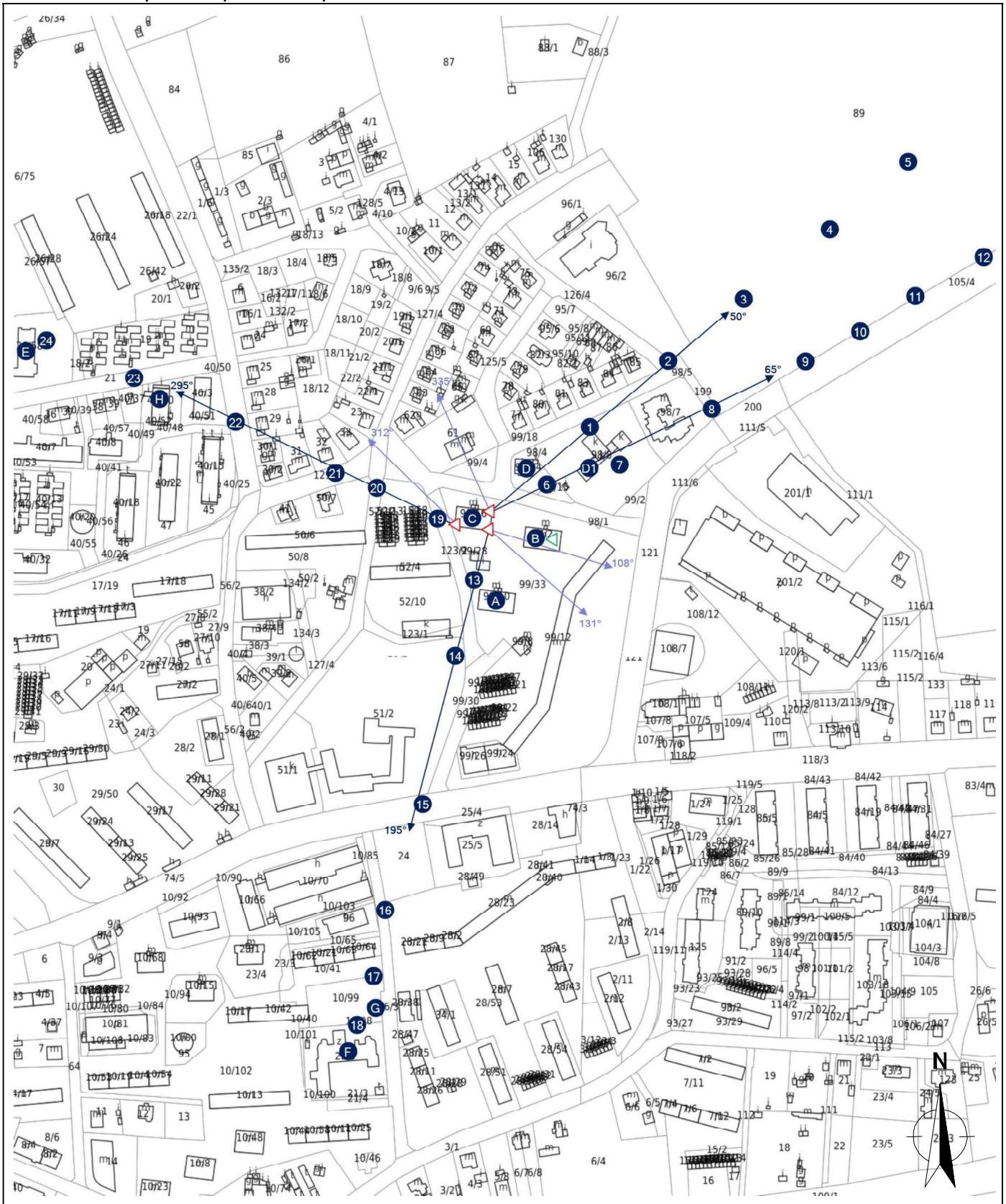

LEGENDA:

- inna instalacja telekomunikacyjna
- instalacja telekomunikacyjna dla której wykonywano pomiar
- brak dostępu
- nr pion pomiaru
- antena sektorowa
- antena radioliowa

Skala: 1:5000

„Bez pisemnej zgody Laboratorium niniejsze sprawozdanie nie może być powielane inaczej, jak tylko w całości. Ponadto wyniki dotyczą tylko badanych obiektów przywołanych w niniejszym sprawozdaniu z badań”

Zał. 3. Załączniki graficzne.



„Bez pisemnej zgody Laboratorium niniejsze sprawozdanie nie może być powielane inaczej, jak tylko w całości. Ponadto wyniki dotyczą tylko badanych obiektów przywołanych w niniejszym sprawozdaniu z badań”